



Laboratorium EMVO Sp. J. Urbański, Pawelak
ul. Jasna 1
00-013 Warszawa

tel. +48 22 780 29 64
e-mail: laboratorium@emvo.pl



AB 1630

Sprawozdanie z pomiarów pól elektromagnetycznych - środowisko nr 59/09/OŚ/2023– P4-W



Nr i nazwa stacji	WAR1170A
Adres	Warszawa, Aleja Komisji Edukacji Narodowej 26, pow. Warszawa, woj. mazowieckie
Opracowanie	Specjalista ds. pomiarów
Autoryzacja	Kierownik Laboratorium
Podpis	Signature Not Verified Dokument podpisany Data: 2023.09.26 21:05:27 CEST Powód: Zatwierdzam dokument
Data	2023-09-25

Spis treści

1. Informacje ogólne.	3
2. Podstawa prawna.	3
3. Opis pomiarów	3
4. Zróżnicowanie dopuszczalne poziomy pól elektromagnetycznych.	5
5. Charakterystyka źródeł PEM.	6
6. Wyniki pomiarów.	6
7. Stwierdzenie zgodności	7
8. Oświadczenie.	10
9. Spis załączników.	10

1. Informacje ogólne.

Zleceniodawca	P4 sp. z o.o., ul. Wynałazek 1, 02-677 Warszawa
Istotne informacje dostarczone przez klienta	komplet informacji niezbędnych do wykonania pomiarów i opracowania sprawozdania
Dane otrzymane od klienta mogące mieć wpływ na ważność wyników	Dane anten sektorowych, dane anten radioliniowych, parametry pracy instalacji, ustawienie pochylenia anten
Prowadzący instalację	P4 sp. z o.o., ul. Wynałazek 1, 02-677 Warszawa
Lokalizacja obiektu	Warszawa, Aleja Komisji Edukacji Narodowej 26, pow. Warszawa, woj. mazowieckie
Miejsce instalacji anten	Dach budynku
Miejsce instalacji urządzeń	Outdoor
Osoby wykonujące pomiar	
Data wykonania pomiaru	25.09.2023
Temperatura na początku pomiaru [°C]	21,0
Temperatura na koniec pomiaru [°C]	20,0
Warunki atmosferyczne	Brak opadów
Wilgotność na początku pomiaru [%]	63,0
Wilgotność na koniec pomiaru [%]	62,0
Godzina na początku pomiaru	14:56
Godzina na koniec pomiaru	16:54
Inne źródła pól elektromagnetycznych oznaczone na załączniku graficznym	Występują
Parametry pracy instalacji	Tryb eksploatacyjny

2. Podstawa prawna.

2.1 Normy i rozporządzenia:

- Obwieszczenie Ministra Klimatu i Środowiska z dnia 21 listopada 2022 r. w sprawie ogłoszenia jednolitego tekstu rozporządzenia Ministra Klimatu w sprawie sposobów sprawdzania dotrzymania dopuszczalnych poziomów pól elektromagnetycznych w środowisku (Dz.U. 2022 poz. 2630)
- Rozporządzenie Ministra Zdrowia z dnia 17 grudnia 2019 r. w sprawie dopuszczalnych poziomów pól elektromagnetycznych w środowisku (Dz.U. 2019 poz. 2448)
- Obwieszczenie Marszałka Sejmu Rzeczypospolitej Polskiej z dnia 1 grudnia 2022 r. w sprawie ogłoszenia jednolitego tekstu ustawy - Prawo ochrony środowiska (Dz.U. 2022 poz. 2556).

3. Opis pomiarów

Metodologia pomiarowa	Pomiary w oparciu o Rozporządzenie Ministra Klimatu z dnia 17 lutego 2020 r. w sprawie sposobów sprawdzania dotrzymania dopuszczalnych poziomów pól elektromagnetycznych w środowisku (Dz.U. 2022 poz. 2630).
Cel badań	Określenie wartości natężenia pola elektrycznego w miejscach dostępnych dla ludności.
Opis zestawu pomiarowego	Miernik Narda NBM 520, Sonda EF 9091, o zakresie pomiarowym 0,7 V/m - 300V/m pracująca w paśmie 0,1 – 90 GHz, świadectwo wydane przez Laboratorium Wzorców i Metrologii Pola Elektromagnetycznego, Instytut Telekomunikacji, Teleinformatyki i Akustyki Politechniki Wrocławskiej. Świadectwo ważne do 27.06.2025, numer świadectwa: LWIMP/W/265/23. Miernik Narda NBM 520, Sonda EF 9091 pracująca w zakresie temperatury -10°C - +50°C oraz wilgotności 5% - 95%. Niepewność rozszerzona wynosi 55,2% przy poziomie ufności 95% z uwzględnieniem współczynnika rozszerzenia k=2.
Wyposażenie pomocnicze	Termohigrometr Termoprodukt, typ: Termik+, Nr. inwentarzowy 37/WL, nr identyfikacyjny 700618, świadectwo wzorcowania nr 1763/AH/19 z dn. 29.07.2019 r. wydane przez Laboratorium Pomiarowe "MUTECH". Przymiar wstępowy STABILA, Nr. inwentarzowy 36/WL, nr identyfikacyjny 31WL, świadectwo wzorcowania nr 6W1/1826/19 z dn. 02.08.2019 r. wydane przez Dyrektora Okręgowego Urzędu Miar w Gdańsku. GPS Garmin 64s okresowo sprawdzany w punktach osnowy geodezyjnej klasy 3 na podstawie licencji punktu, zgodnie z procedurą sprawdzeń okresowych IS/PO16-11/03.
Pomiary zostały wykonane	<ol style="list-style-type: none">1. na głównych i pomocniczych kierunkach pomiarowych, na kierunkach zbliżonych do azymutów anten oraz w dodatkowych pionach pomiarowych zgodnie z wymaganiami pkt 12, 13, 14 i 19 Rozporządzenia Ministra Klimatu z dnia 17 lutego 2020 r. (Dz.U. 2022 poz. 2630). Wybór i lokalizacja pionów pomiarowych, w tym znajdujących się wewnątrz lokali, zostały ustalone zgodnie z procedurą laboratorium nr PP-7.3/7.4/7.5-11, z uwzględnieniem: rodzaju badanej instalacji (w tym parametrów technicznych instalacji), lokalizacji badanej instalacji, ukształtowania terenu wokół badanej instalacji.2. na obszarze pomiarowym, dla którego, na podstawie uprzednio przeprowadzonych obliczeń stwierdzono w miejscach dostępnych dla ludności występowanie pól elektromagnetycznych o najwyższym poziomie, które pochodzą z badanej instalacji zgodnie z wymaganiami pkt 5 ppkt 2 oraz pkt 13 ppkt 1 Rozporządzenia Ministra Klimatu z dnia 17 lutego 2020 r. w sprawie sposobów sprawdzania dotrzymania dopuszczalnych poziomów pól elektromagnetycznych w środowisku (Dz.U. 2022 poz. 2630). Wyniki obliczeń nie uwzględniały parametrów pracy instalacji innych operatorów występujących na obiekcie bądź w obszarze pomiarowym.3. w miejscach dostępnych dla ludności.4. miejsca niedostępne podczas wykonywania pomiarów wskazane zostały w pkt 6 (tabeli wyniki pomiarów)5. w dodatkowych pionach pomiarowych w lokalach oraz na balkonach i tarasach, na których mogą przebywać ludzie, po poinformowaniu o planowanych pomiarach z minimum 3-dniowym wyprzedzeniem i po umożliwieniu dostępu do lokalu, balkonu lub tarasu przez jego dysponenta lub bez zachowania terminu wskazanego w pierwszej części

zdania za zgodą dysponenta przestrzeni pomiarowej.

Sposób powiadamiania dysponentów

Zgodnie z pkt 14 Rozporządzenia Ministra Klimatu z dnia 17 lutego 2020 r. w sprawie sposobów sprawdzania dotrzymania dopuszczalnych poziomów pól elektromagnetycznych w środowisku (Dz.U. 2022 poz. 2630). poinformowano dysponentów lokali o planowanych pomiarach.

Informacji dokonano między innymi poprzez:

1. bloki mieszkalne – zawiadomienie spółdzielni mieszkaniowej, zarządcy nieruchomości, zarządu wspólnoty, umieszczenie informacji o planowanych pomiarach na tablicach ogłoszeń w klatkach schodowych bloków lub na drzwiach wejściowych,
2. biurowce, budynki użyteczności publicznej itp. - przekazanie zawiadomienia do administracji lub recepcji obiektu,
3. domy jednorodzinne, szeregowce itp.- pozostawienie informacji w skrynkach pocztowych itp. lub przekazanie osobiste.

Warunki pracy urządzeń nadawczych

Tryb pracy eksploatacyjny.

4. Zróżnicowanie dopuszczalne poziomy pól elektromagnetycznych.

Zakresy znajdują się w Dzienniku Ustaw z dnia 17 grudnia 2019 r. przedstawione są w tabeli nr 2 (Dz. U. z 2019r. poz. 2448).

Parametr fizyczny	Składowa elektryczna E (V/m)	Składowa magnetyczna H (A/m)	Gęstość mocy S (W/m ²)
Zakres Częstotliwości pola elektromagnetycznego			
od 400 MHz do 2000 MHz	$1,375 \times f^{0,5}$	$0,0037 \times f^{0,5}$	$f / 200$
od 2 GHz do 300 GHz	61	0,16	10

5. Charakterystyka źródeł PEM.

Zgodnie z informacją otrzymaną od Klienta pomiary zostały wykonane przy ustawieniach pochylenia anten zgodnych z pkt. 13, ppkt 2 Rozporządzenia Ministra Klimatu z dnia 17 lutego 2020 roku.

Tabela 1. Anteny sektorowe - dane otrzymane od klienta

Charakterystyka promieniowania		kierunkowa									
Rzeczywisty czas pracy [h/dobę]		24									
Rodzaj wytwarzanego pola		stacjonarne									
Lp	Wyszczególnienie	sektor 1					sektor 2				
I											
Nadajnik stacji bazowej:											
1	Typ / Producent	DBS / SRAN Huawei									
2	Częstotliwość (pasmo) MHz	2100	1800	900	2100	1800	800	2600	2100	1800	
3	Maksymalna moc nadawana na sektor [dBm]	49,03	49,03	46,02	49,03	49,03	49,03	52,04	49,03	49,03	
II											
Obciążenie:											
1	Typ anteny	Huawei ADU4518R11			Huawei ADU4518R11			Huawei ADU4518R6	Huawei AAU5726e		
2	Producent anteny	Huawei			Huawei			Huawei	Huawei		
3	Nazwa anteny	11_GHNT	11_GHNT	11_GHNT	12_LV	12_LV	12_LV	13_H	21_HLN	21_HLN	
4	Ilość anten	1			1			1	1		
5	Azymut	10						80			
6	Zakres kątów pochylenia anten [°]	2,00-12,00	2,00-12,00	0,00-12,00	2,00-12,00	2,00-12,00	0,00-12,00	0,00-12,00	2,00-10,00		
7	Wysokość zainst. n.p.t. [m]	33,10			33,10			33,45	33,45		
8	EIRP [W]	9182			10600			10122	8571		

Charakterystyka promieniowania		kierunkowa									
Rzeczywisty czas pracy [h/dobę]		24									
Rodzaj wytwarzanego pola		stacjonarne									
Lp	Wyszczególnienie	sektor 3			sektor 4			sektor 5		sektor 6	
I											
Nadajnik stacji bazowej:											
1	Typ / Producent	DBS / SRAN Huawei									
2	Częstotliwość (pasmo) MHz	2100	1800	2600	900	800	2100	2100	1800	2100	1800
3	Maksymalna moc nadawana na sektor [dBm]	49,03	49,03	52,04	46,02	49,03	49,03	49,03	49,03	49,03	49,03
II											
Obciążenie:											
1	Typ anteny	Huawei AAU5726e		Huawei ATR4518R6			Huawei AAU5726e	Huawei AAU5726e		Huawei AAU5726e	
2	Producent anteny	Huawei		Huawei			Huawei	Huawei		Huawei	
3	Nazwa anteny	21_HLN	21_HLN	22_GHTV	22_GHTV	22_GHTV	21_HLN	21_HLN	21_HLN	21_HLN	21_HLN
4	Ilość anten	1		1			1	1		1	
5	Azymut	108			120			132		160	
6	Zakres kątów pochylenia anten [°]	2,00-10,00		0,00-10,00	0,00-10,00	0,00-10,00	0,00-0,00	2,00-10,00		2,00-10,00	
7	Wysokość zainst. n.p.t. [m]	33,45		33,10			33,45	33,45		33,45	
8	EIRP [W]	8571		14974			9333	8571		8571	

Charakterystyka promieniowania		kierunkowa						
Rzeczywisty czas pracy [h/dobę]		24						
Rodzaj wytwarzanego pola		stacjonarne						
Lp	Wyszczególnienie	sektor 7						
I	Nadajnik stacji bazowej:							
1	Typ / Producent	DBS / SRAN Huawei						
2	Częstotliwość (pasmo) MHz	2100	1800	900	2100	1800	800	2600
3	Maksymalna moc nadawana na sektor [dBm]	49,03	49,03	46,02	49,03	49,03	49,03	52,04
II	Obciążenie:							
1	Typ anteny	Huawei ADU4518R11		Huawei ADU4518R11			Huawei ADU4518R6	
2	Producent anteny	Huawei		Huawei			Huawei	
3	Nazwa anteny	31_GLT	31_GLT	31_GLT	32_HNV	32_HNV	32_HNV	33_H
4	Ilość anten	1		1			1	
5	Azymut	205						
6	Zakres kątów pochYLENIA anten [°]	2,00-12,00	2,00-12,00	0,00-12,00	2,00-12,00	2,00-12,00	0,00-12,00	0,00-12,00
7	Wysokość zainst. n.p.t. [m]	33,10		33,10			33,45	
8	EIRP [W]	9182		10600			10122	

Tabela 2. Anteny radioliniowe- dane otrzymane od klienta

Charakterystyka promieniowania		kierunkowa					
Rzeczywisty czas pracy [h/dobę]		24					
Rodzaj wytwarzanego pola		stacjonarne					
Lp	Linia radiowa			Antena			
	typ/producent	częstotliwość pracy [GHz]	moc wyjściowa [dBm]	typ/producent	średnica anteny [m]	azymut [°]	wysokość zainstal. [m]
1	MINI-LINK/ERICSSON	80	18	ANT2 B 0.3 80 HP/Ericsson	0,3	27	32,70
2	OPTIX RTN/HUAWEI	80	18	VHLP1-80/Andrew	0,3	149	32,70
3	OPTIX RTN/HUAWEI	80	18	VHLP1-80/Andrew	0,3	311	32,70

6. Wyniki pomiarów.

Wyniki pomiarów pól elektromagnetycznych dla celów ochrony środowiska przedstawia poniższa tabela. Piony pomiarowe zostały przedstawione w zał. 2.

Nr PP	Pole-E [V/m]	Pole-E, +U [V/m]	Pole-H [A/m]	Pole-H +U [A/m]	Wys. pomiaru [m]	Opis pionu	Uwagi	WM _E	WM _H
1	1,0	1,55	0,003	0,004	0,3-2,0	N:52°08'07.7" E:21°03'48.1"	otoczenie stacji bazowej - 50m wzdłuż gł. osi promieniowania - GKP	0,055	0,056
2	0,8	1,24	0,002	0,003	0,3-2,0	N:52°08'09.4" E:21°03'48.6"	otoczenie stacji bazowej - 100m wzdłuż gł. osi promieniowania - GKP	0,044	0,045
3	0,7*	1,24	0,002	0,003	0,3-2,0	N:52°08'10.8" E:21°03'48.9"	otoczenie stacji bazowej - 150m wzdłuż gł. osi promieniowania - GKP	0,044	0,045
4	0,7*	1,24	0,002	0,003	0,3-2,0	N:52°08'12.5" E:21°03'49.5"	otoczenie stacji bazowej - 200m wzdłuż gł. osi promieniowania - GKP	0,044	0,045
5	0,9	1,40	0,002	0,004	0,3-2,0	N:52°08'14.1" E:21°03'50.1"	otoczenie stacji bazowej - 250m wzdłuż gł. osi promieniowania - GKP	0,050	0,051
6	1,1	1,71	0,003	0,005	0,3-2,0	N:52°08'15.6" E:21°03'50.6"	otoczenie stacji bazowej - 300m wzdłuż gł. osi promieniowania - GKP	0,061	0,062
7	1,1	1,71	0,003	0,005	0,3-2,0	N:52°08'06.3" E:21°03'53.2"	otoczenie stacji bazowej - 100m wzdłuż gł. osi promieniowania - GKP	0,061	0,062

„Bez pisemnej zgody Laboratorium niniejsze sprawozdanie nie może być powielane inaczej, jak tylko w całości. Ponadto wyniki dotyczą tylko badanych obiektów przywołanych w niniejszym sprawozdaniu z badań”

8	1,0	1,55	0,003	0,004	0,3-2,0	N:52°08'06.5" E:21°03'55.5"	otoczenie stacji bazowej - 150m wzdłuż gł. osi promieniowania - GKP	0,055	0,056
9	1,2	1,86	0,003	0,005	0,3-2,0	N:52°08'06.8" E:21°03'58.2"	otoczenie stacji bazowej - 200m wzdłuż gł. osi promieniowania - GKP	0,067	0,068
10	1,3	2,02	0,003	0,005	0,3-2,0	N:52°08'07.1" E:21°04'00.9"	otoczenie stacji bazowej - 250m wzdłuż gł. osi promieniowania - GKP	0,072	0,073
11	0,8	1,24	0,002	0,003	0,3-2,0	N:52°08'07.3" E:21°04'03.2"	otoczenie stacji bazowej - 300m wzdłuż gł. osi promieniowania - GKP	0,044	0,045
12	1,2	1,86	0,003	0,005	0,3-2,0	N:52°08'05.0" E:21°03'51.7"	otoczenie stacji bazowej - 75m wzdłuż gł. osi promieniowania - GKP	0,067	0,068
13	1,3	2,02	0,003	0,005	0,3-2,0	N:52°08'04.1" E:21°03'55.3"	otoczenie stacji bazowej - 150m wzdłuż gł. osi promieniowania - GKP	0,072	0,073
14	1,0	1,55	0,003	0,004	0,3-2,0	N:52°08'03.7" E:21°03'57.6"	otoczenie stacji bazowej - 200m wzdłuż gł. osi promieniowania - GKP	0,055	0,056
15	1,0	1,55	0,003	0,004	0,3-2,0	N:52°08'02.5" E:21°04'02.7"	otoczenie stacji bazowej - 300m wzdłuż gł. osi promieniowania - GKP	0,055	0,056
16	1,2	1,86	0,003	0,005	0,3-2,0	N:52°08'04.2" E:21°03'52.2"	otoczenie stacji bazowej - 100m wzdłuż gł. osi promieniowania - GKP	0,067	0,068
17	1,3	2,02	0,003	0,005	0,3-2,0	N:52°08'03.1" E:21°03'54.5"	otoczenie stacji bazowej - 150m wzdłuż gł. osi promieniowania - GKP	0,072	0,073
18	1,2	1,86	0,003	0,005	0,3-2,0	N:52°08'02.2" E:21°03'56.6"	otoczenie stacji bazowej - 200m wzdłuż gł. osi promieniowania - GKP	0,067	0,068
19	1,0	1,55	0,003	0,004	0,3-2,0	N:52°08'01.6" E:21°03'58.7"	otoczenie stacji bazowej - 250m wzdłuż gł. osi promieniowania - GKP	0,055	0,056
20	0,9	1,40	0,002	0,004	0,3-2,0	N:52°08'00.7" E:21°04'00.9"	otoczenie stacji bazowej - 300m wzdłuż gł. osi promieniowania - GKP	0,050	0,051
21	1,1	1,71	0,003	0,005	0,3-2,0	N:52°08'04.7" E:21°03'49.8"	otoczenie stacji bazowej - 50m wzdłuż gł. osi promieniowania - GKP	0,061	0,062
22	0,9	1,40	0,002	0,004	0,3-2,0	N:52°08'02.6" E:21°03'53.2"	otoczenie stacji bazowej - 150m wzdłuż gł. osi promieniowania - GKP	0,050	0,051
23	1,0	1,55	0,003	0,004	0,3-2,0	N:52°08'01.2" E:21°03'55.6"	otoczenie stacji bazowej - 200m wzdłuż gł. osi promieniowania - GKP	0,055	0,056
24	1,1	1,71	0,003	0,005	0,3-2,0	N:52°08'00.2" E:21°03'57.2"	otoczenie stacji bazowej - 250m wzdłuż gł. osi promieniowania - GKP	0,061	0,062
25	1,2	1,86	0,003	0,005	0,3-2,0	N:52°07'59.1" E:21°03'59.1"	otoczenie stacji bazowej - 300m wzdłuż gł. osi promieniowania - GKP	0,067	0,068
26	1,3	2,02	0,003	0,005	0,3-2,0	N:52°08'02.7" E:21°03'49.3"	otoczenie stacji bazowej - 100m wzdłuż gł. osi promieniowania - GKP	0,072	0,073
27	1,5	2,33	0,004	0,006	0,3-2,0	N:52°08'01.2" E:21°03'50.2"	otoczenie stacji bazowej - 150m wzdłuż gł. osi promieniowania - GKP	0,083	0,085
28	1,4	2,17	0,004	0,006	0,3-2,0	N:52°07'59.7" E:21°03'50.9"	otoczenie stacji bazowej - 200m wzdłuż gł. osi promieniowania - GKP	0,078	0,079
29	1,6	2,48	0,004	0,007	0,3-2,0	N:52°07'58.2" E:21°03'51.7"	otoczenie stacji bazowej - 250m wzdłuż gł. osi promieniowania - GKP	0,089	0,090
30	1,7	2,64	0,005	0,007	0,3-2,0	N:52°07'56.6" E:21°03'52.5"	otoczenie stacji bazowej - 300m wzdłuż gł. osi promieniowania - GKP	0,094	0,096
31	1,5	2,33	0,004	0,006	0,3-2,0	N:52°07'55.7" E:21°03'52.9"	otoczenie stacji bazowej - 330m wzdłuż gł. osi promieniowania - GKP	0,083	0,085
32	1,4	2,17	0,004	0,006	0,3-2,0	N:52°08'04.2" E:21°03'45.3"	otoczenie stacji bazowej - 50m wzdłuż gł. osi promieniowania - GKP	0,078	0,079
33	1,3	2,02	0,003	0,005	0,3-2,0	N:52°08'01.4" E:21°03'42.9"	otoczenie stacji bazowej - 150m wzdłuż gł. osi promieniowania - GKP	0,072	0,073
34	1,2	1,86	0,003	0,005	0,3-2,0	N:52°07'59.8" E:21°03'41.6"	otoczenie stacji bazowej - 200m wzdłuż gł. osi promieniowania - GKP	0,067	0,068
35	1,0	1,55	0,003	0,004	0,3-2,0	N:52°07'57.1" E:21°03'39.2"	otoczenie stacji bazowej - 300m wzdłuż gł. osi promieniowania - GKP	0,055	0,056
36	0,9	1,40	0,002	0,004	0,3-2,0	N:52°07'56.2" E:21°03'38.5"	otoczenie stacji bazowej - 330m wzdłuż gł. osi promieniowania - GKP	0,050	0,051
37	0,7*	1,24	0,002	0,003	0,3-2,0	N:52°08'08.9" E:21°03'49.7"	otoczenie stacji bazowej - 100m wzdłuż gł. osi promieniowania - GKP	0,044	0,045
38	1,0	1,55	0,003	0,004	0,3-2,0	N:52°08'04.6" E:21°03'49.0"	otoczenie stacji bazowej - 50m wzdłuż gł. osi promieniowania - GKP	0,055	0,056
39	0,7*	1,24	0,002	0,003	0,3-2,0	N:52°08'07.6" E:21°03'42.6"	otoczenie stacji bazowej - 100m wzdłuż gł. osi promieniowania - GKP	0,044	0,045
40	1,0	1,55	0,003	0,004	0,3-2,0	N:52°08'08.0" E:21°03'46.7"	otoczenie stacji bazowej - GKP	0,055	0,056

„Bez pisemnej zgody Laboratorium niniejsze sprawozdanie nie może być powielane inaczej, jak tylko w całości. Ponadto wyniki dotyczą tylko badanych obiektów przywołanych w niniejszym sprawozdaniu z badań”

41	0,8	1,24	0,002	0,003	0,3-2,0	N:52°08'07.3" E:21°03'51.5"	otoczenie stacji bazowej - GKP	0,044	0,045
42	1,2	1,86	0,003	0,005	0,3-2,0	N:52°08'03.9" E:21°03'46.8"	otoczenie stacji bazowej - GKP	0,067	0,068
43	0,9	1,40	0,002	0,004	0,3-2,0	N:52°08'08.7" E:21°03'44.6"	otoczenie stacji bazowej - GKP	0,050	0,051
A	0,9	1,40	0,002	0,004	0,3-2,0	N:52°08'05.9" E:21°03'46.5"	Al. Komisji Edukacji Narodowej 26, pomiar w otworze okiennym, piętro 8 -DPP	0,050	0,051
	0,8	1,24	0,002	0,003	0,3-2,0		Al. Komisji Edukacji Narodowej 26, pomiar w otworze okiennym, piętro 7 -DPP	0,044	0,045
B	0,9	1,40	0,002	0,004	0,3-2,0	N:52°08'04.7" E:21°03'47.4"	Al. Komisji Edukacji Narodowej 26, pomiar w otworze okiennym, piętro 5 -DPP	0,050	0,051
	1,1	1,71	0,003	0,005	0,3-2,0		Al. Komisji Edukacji Narodowej 26, pomiar w otworze okiennym, piętro 4 -DPP	0,061	0,062
C	0,9	1,40	0,002	0,004	0,3-2,0	N:52°08'04.9" E:21°03'49.5"	Al. Komisji Edukacji Narodowej 26, pomiar w otworze okiennym, piętro 4 -DPP	0,050	0,051
	0,8	1,24	0,002	0,003	0,3-2,0		Al. Komisji Edukacji Narodowej 26, pomiar w otworze okiennym, piętro 3 -DPP	0,044	0,045
D	1,0	1,55	0,003	0,004	0,3-2,0	N:52°08'06.6" E:21°03'50.3"	Al. Komisji Edukacji Narodowej 26, pomiar w otworze okiennym, piętro 5 -DPP	0,055	0,056
	0,9	1,40	0,002	0,004	0,3-2,0		Al. Komisji Edukacji Narodowej 26, pomiar w otworze okiennym, piętro 4 -DPP	0,050	0,051
E	1,3	2,02	0,003	0,005	0,3-2,0	N:52°08'03.1" E:21°03'44.9"	Al. Komisji Edukacji Narodowej 19, pomiar w otworze okiennym, piętro 4 -DPP	0,072	0,073
F	1,1	1,71	0,003	0,005	0,3-2,0	N:52°07'59.5" E:21°03'40.8"	Płk. Zoltana Baló 1, pomiar w otworze okiennym, parter -DPP	0,061	0,062
G	1,2	1,86	0,003	0,005	0,3-2,0	N:52°08'03.9" E:21°03'52.2"	Wańkowicza 7, pomiar w otworze okiennym, piętro 4, klatka -DPP	0,067	0,068
	1,2	1,86	0,003	0,005	0,3-2,0		Wańkowicza 7, pomiar w otworze okiennym, piętro 3, klatka -DPP	0,067	0,068
H	0,9	1,40	0,002	0,004	0,3-2,0	N:52°08'02.5" E:21°03'53.6"	Wańkowicza 5b, pomiar w otworze okiennym, piętro 4, klatka -DPP	0,050	0,051
	0,8	1,24	0,002	0,003	0,3-2,0		Wańkowicza 5b, pomiar w otworze okiennym, piętro 3, klatka -DPP	0,044	0,045
I	1,2	1,86	0,003	0,005	0,3-2,0	N:52°07'59.9" E:21°03'58.7"	Wańkowicza 2, pomiar w otworze okiennym, piętro 1, klatka -DPP	0,067	0,068
	1,1	1,71	0,003	0,005	0,3-2,0		Wańkowicza 2, pomiar w otworze okiennym, parter -DPP	0,061	0,062
J	1,0	1,55	0,003	0,004	0,3-2,0	N:52°08'00.3" E:21°04'01.8"	Wańkowicza 2, pomiar w otworze okiennym, piętro 1, klatka -DPP	0,055	0,056
	0,8	1,24	0,002	0,003	0,3-2,0		Wańkowicza 2, pomiar w otworze okiennym, parter -DPP	0,044	0,045
K	0,7*	1,24	0,002	0,003	0,3-2,0	N:52°08'02.6" E:21°04'03.9"	Jeżewskiego 5E, pomiar w otworze okiennym, parter -DPP	0,044	0,045
L	1,0	1,55	0,003	0,004	0,3-2,0	N:52°08'03.3" E:21°03'59.3"	Wańkowicza 4a, pomiar w otworze okiennym, parter -DPP	0,055	0,056
Ł	1,2	1,86	0,003	0,005	0,3-2,0	N:52°08'03.7" E:21°03'55.7"	Wańkowicza 4, pomiar w otworze okiennym, piętro 4, klatka -DPP	0,067	0,068
	1,0	1,55	0,003	0,004	0,3-2,0		Wańkowicza 4, pomiar w otworze okiennym, piętro 3, klatka -DPP	0,055	0,056
M	1,2	1,86	0,003	0,005	0,3-2,0	N:52°08'04.6" E:21°03'55.0"	Wańkowicza 6, pomiar w otworze okiennym, piętro 4, klatka -DPP	0,067	0,068
	1,1	1,71	0,003	0,005	0,3-2,0		Wańkowicza 6, pomiar w otworze okiennym, piętro 3, klatka -DPP	0,061	0,062
N	1,0	1,55	0,003	0,004	0,3-2,0	N:52°08'06.3" E:21°03'53.6"	Wańkowicza 6, pomiar w otworze okiennym, piętro 4, klatka -DPP	0,055	0,056
O	1,1	1,71	0,003	0,005	0,3-2,0	N:52°08'06.7"	Os. Kasztanowa Aleja 11A, pomiar w	0,061	0,062

„Bez pisemnej zgody Laboratorium niniejsze sprawozdanie nie może być powielane inaczej, jak tylko w całości. Ponadto wyniki dotyczą tylko badanych obiektów przywołanych w niniejszym sprawozdaniu z badań”

						E:21°03'59.8"	otworze okiennym, parter -DPP		
P	1,0	1,55	0,003	0,004	0,3-2,0	N:52°08'15.9" E:21°03'50.5"	Przy Bażantarni 2A, pomiar w otworze okiennym, parter -DPP	0,055	0,056

Wynik pomiaru pole - E [V/m] - maksymalna wartość chwilowa zmierzona w danym pionie pomiarowym (uśredniona na podstawie punktu 11 załącznika do Rozporządzenia Ministra Klimatu z dnia 17 lutego 2020 r. w sprawie sposobów sprawdzania dotrzymania dopuszczalnych poziomów pól elektromagnetycznych w środowisku (Dz.U. 2022 poz. 2630)). Zgodnie z pkt. 7 załącznika do Rozporządzenia Ministra Klimatu z dnia 17 lutego 2020 r. w sprawie sposobów sprawdzania dotrzymania dopuszczalnych poziomów pól elektromagnetycznych w środowisku (Dz.U. 2022 poz. 2630) nie stosuje się poprawek pomiarowych.

Przyjęto najniższą dopuszczalną wartość składowej elektrycznej pola dla objętego pomiarami zakresu częstotliwości $\min(ME_{gr})= 28 \text{ V/m}$ oraz składowej magnetycznej $\min(MH_{gr})= 0,073 \text{ A/m}$.

* - wartość zmierzona poniżej zakresu akredytacji. Do obliczeń przyjęto wartość zgodną z dolną granicą akredytowanego zakresu pomiarowego metody.

GKP - główne kierunki pomiarowe

PKP - pomocnicze kierunki pomiarowe

DPP - dodatkowe punkty pomiarowe

PP - pion pomiarowy

U - niepewność pomiarowa rozszerzona, przy poziomie ufności 95%, z uwzględnieniem współczynnika rozszerzenia $k=2$

WM_E - wartość wskaźnikowa poziomu emisji pól elektromagnetycznych dla miejsc dostępnych dla ludności dla składowej elektrycznej pola

WM_H - wartość wskaźnikowa poziomu emisji pól elektromagnetycznych dla miejsc dostępnych dla ludności dla składowej magnetycznej pola

7. Stwierdzenie zgodności

Na podstawie wytycznych podanych w Rozporządzeniu Ministra Zdrowia z dnia 17 grudnia 2019 r. w sprawie dopuszczalnych poziomów pól elektromagnetycznych w środowisku (Dz.U. 2019 poz. 2448) oraz sposobów sprawdzania dotrzymania tych poziomów zgodnie z Rozporządzeniem Ministra Klimatu z dnia 17 lutego 2020 r. w sprawie sposobów sprawdzania dotrzymania dopuszczalnych poziomów pól elektromagnetycznych w środowisku (Dz.U. 2022 poz. 2630), dotyczących źródła wymagań, które muszą być spełnione, w oparciu o zasadę podejmowania decyzji zgodną z pkt. 26 Rozporządzenia Ministra Klimatu z dnia 17 lutego 2020 r. (Dz.U. 2022 poz. 2630), na podstawie wyników pomiarów pól elektromagnetycznych wykonanych w dniu 25.09.2023 stwierdzono, że wszystkie wyniki przeprowadzonych pomiarów w danym obszarze pomiarowym oraz wyznaczone na tej podstawie wskaźniki WME oraz WMH są mniejsze od wartości dopuszczalnych – zgodnie z przepisami wydanymi na podstawie art. 122 ust. 1 ustawy z dnia 27 kwietnia 2001 r. – Prawo ochrony środowiska – załącznikiem do Rozporządzenia Ministra Klimatu i Środowiska z dnia 17 lutego 2020 r. w sprawie sposobów sprawdzania dotrzymania dopuszczalnych poziomów pól elektromagnetycznych w środowisku (Dz.U. 2022 poz. 2630, pkt 26).

8. Oświadczenie.

Wyniki badania odnoszą się wyłącznie do badanego obiektu.

Bez pisemnej zgody sprawozdanie nie może być powielane inaczej, jak tylko w całości.

Uwagi i zastrzeżenia przyjmowane są w formie pisemnej.

9. Spis załączników.

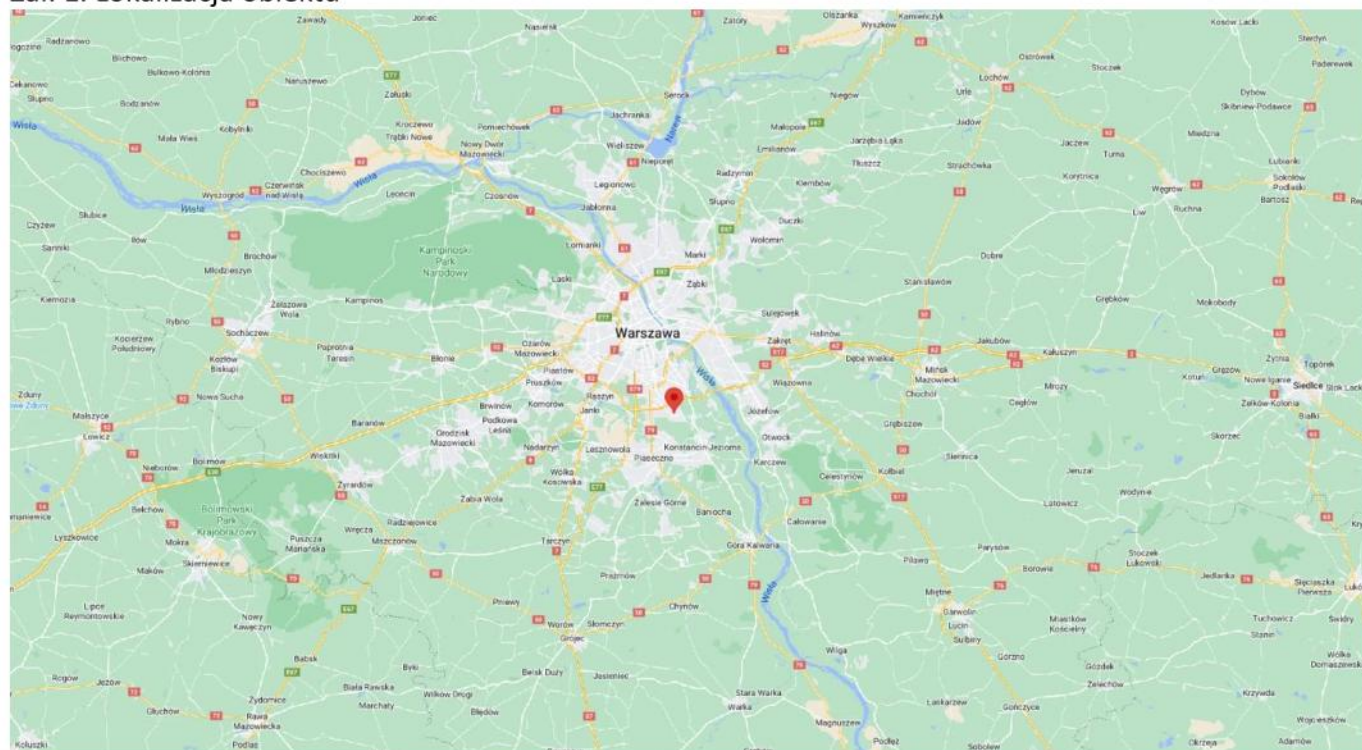
Załącznik 1. Lokalizacja obiektu.

Załącznik 2. Widok pionów pomiarowych

Załącznik 3. Załączniki graficzne

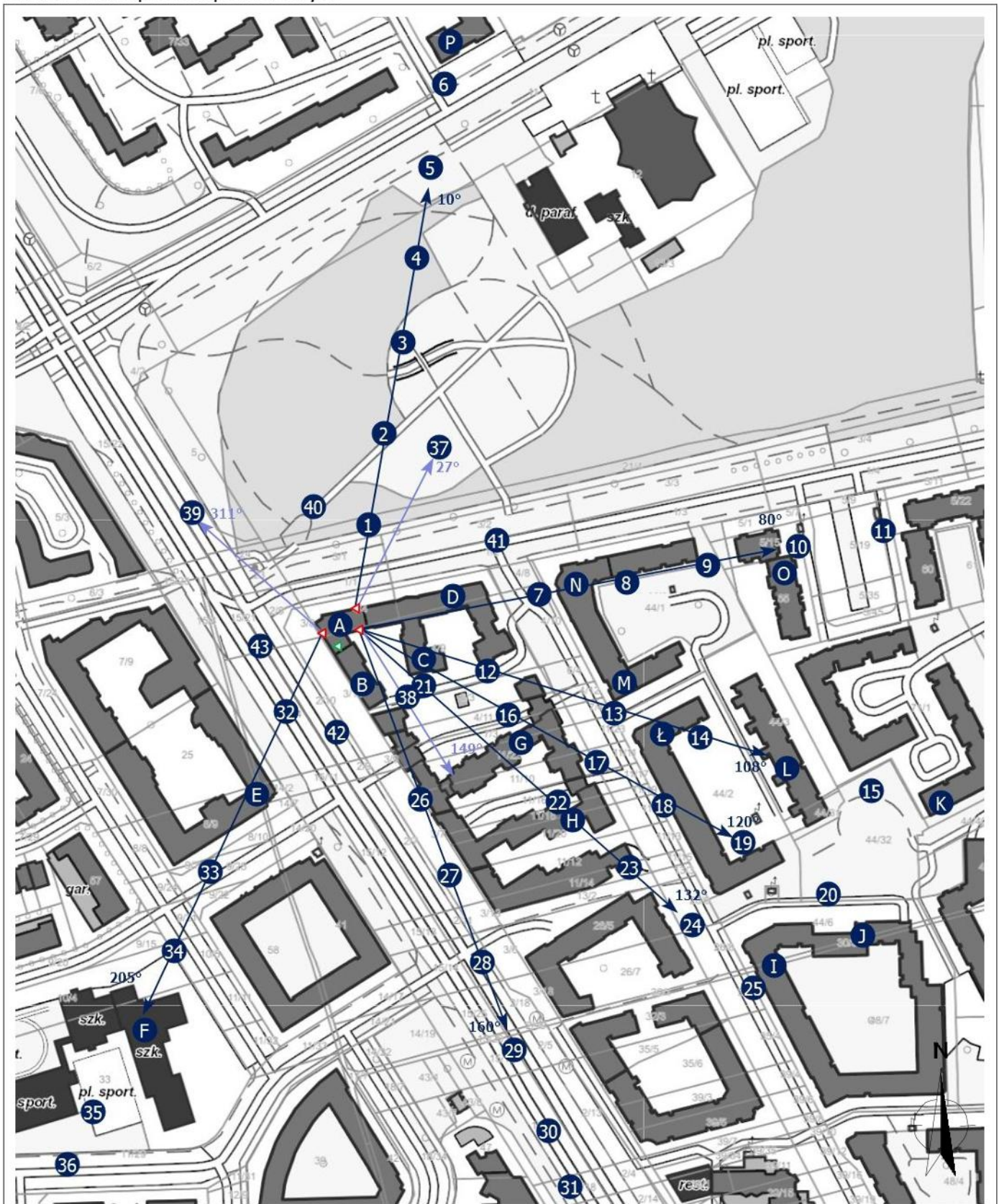
Koniec sprawozdania

Załącznik 1. Lokalizacja obiektu





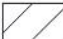
Współrzędne geograficzne	
długość:	21°03'46.93"E
szerokość:	52°08'05.96"N

Zał. 2. Widok pionów pomiarowych



LEGENDA:

-  inna instalacja telekomunikacyjna
-  instalacja telekomunikacyjna dla której wykonywano pomiar

 brak dostępu

 pion pomiaru

 antena sektorowa

 antena radioliowa

Skala:1:3600



„Bez pisemnej zgody Laboratorium niniejsze sprawozdanie nie może być powielane inaczej, jak tylko w całości. Ponadto wyniki dotyczą tylko badanych obiektów przywołanych w niniejszym sprawozdaniu z badań”

Załącznik 3. Załączniki graficzne.

